



4. Pevny T. Merging Markov and DCT features for multiclass JPEG steganalysis/ T. Pevny, J. Fridrich// in Proc. SPIE, Electronic Imaging, Security, Steganography, and Watermarking of Multimedia Contents IX, pp. 301– 304, 2007.
5. Bestagini P. Local tampering detection in video sequences/ P. Bestagini, S. Milani, M. Tagliasacchi, S. Tubaro// IEEE 15th International Workshop on Multimedia Signal Processing (MMSP), Pula, Italy, 2013
6. Qadir G. Surrey University Library for Forensic Analysis (SULFA) of video content/ G. Qadir, S. Yahahya, A.T.S. Ho// IET Conference on Image Processing (IPR 2012), July 2012.
7. REWIND Forged Videos Data Set [Электронный ресурс]. – URL: <https://sites.google.com/site/rewindpolimi/downloads/datasets/video-copy-move-forgeries-dataset> (дата обращения: 14.05.2019).
8. GRIP Forged Videos Data Set [Электронный ресурс]. – URL: <http://www.grip.unina.it/download/prog/ForgedVideosDataset/Copymove> (дата обращения: 14.05.2019).

Ю.М. Злобин, В.П. Пряхин

## ОЦЕНКА ЭФФЕКТИВНОСТИ МАСКИРОВАНИЯ ФУНКЦИОНАЛЬНО-ЛОГИЧЕСКОЙ СТРУКТУРЫ ИНФОРМАЦИОННОЙ СИСТЕМЫ

(Самарский университет)

Провести оценку эффективности функционирования ранее разработанного средства масштабирования («маскирования») распределенной информационной системы (ИС) представляется возможным путем сравнения вероятностно-временных характеристик (ВВХ) полученной функционально-логической структуры с исходными характеристиками ИС [1]. Очевидно, что исходная ИС обладает рядом параметров, которые подвергнутся изменениям во время работы средства «маскирования» и, более того, появятся новые параметры, коренным образом влияющие на ВВХ ИС. С точки зрения дезинформации злоумышленника важно, чтобы разница между исходной и масштабируемой ИС была минимальна, то есть она должна стремиться к 0. Оценка этой разницы позволит говорить об эффективности «маскирования» ИС.

Предполагается, что сравнение ВВХ ИС возможно с помощью расстояния Кульбака-Лейблера. Для оценки информационного выигрыша (демонстрации его минимума) на  $t \rightarrow \infty$  необходимо оперировать абсолютно непрерывными распределениями  $P$  и  $Q$  и иметь в распоряжении плотности этих распределений  $p(x)$  и  $q(x)$  соответственно. На данном этапе исследования получение плотности распределения случайных величин для маскированной структуры  $q(x)$  остается актуальной задачей. Другой вариант оценки расстояния Кульбака-Лейблера – аппроксимация для дискретных значений случайных величин.

Дискретные значения случайных величин для построения распределений  $P$  и  $Q$  могут быть получены путем синтеза марковских моделей функционирования ИС и их последующим решением.



Для моделирования функционирования ИКС, как правило, используются эргодические непрерывные марковские цепи. В этом случае состояния цепи соответствуют состояниям системы, различающихся составом исправного и отказавшего оборудования. Переходы между состояниями связаны с отказами и восстановлением устройств и реконфигурацией связей между ними, выполняемой для сохранения работоспособности системы [2]. Оценки характеристик эргодической цепи дают представление о надежности поведения системы в целом.

Основной характеристикой непрерывной марковской цепи является стационарное (финальное) распределение вероятностей состояний  $p(t) = (p_1(t) \dots p_n(t))$ , где  $p_1(t) \dots p_n(t)$  - вероятности пребывания в состояниях  $S_1 \dots S_n$  соответственно [3]. Вероятности  $p_1(t) \dots p_n(t)$  и есть искомые ВВХ ИС, необходимые для оценки эффективности средства «маскирования».

Для построения распределения  $Q$  опишем состояния ИС, не использующей средство «маскирования» и проводящей противодействие сетевой разведке (СР) собственными ресурсами:

$S_1$  – ИКС работоспособна, функционирует в обычном режиме обнаружения СР;

$S_2$  – выработка стратегии противодействия СР;

$S_3$  – противодействие СР;

$S_4$  – отключение связи вследствие воздействия СР;

$S_5$  – отключения связи вследствие воздействия единой сети электросвязи (ЕСЭ).

Перечисленные дискретные состояния позволяют построить граф состояний исследуемой ИС, где  $\lambda_{ij}$  – интенсивности информационного обмена, характеризующие потоки событий (рис. 1):

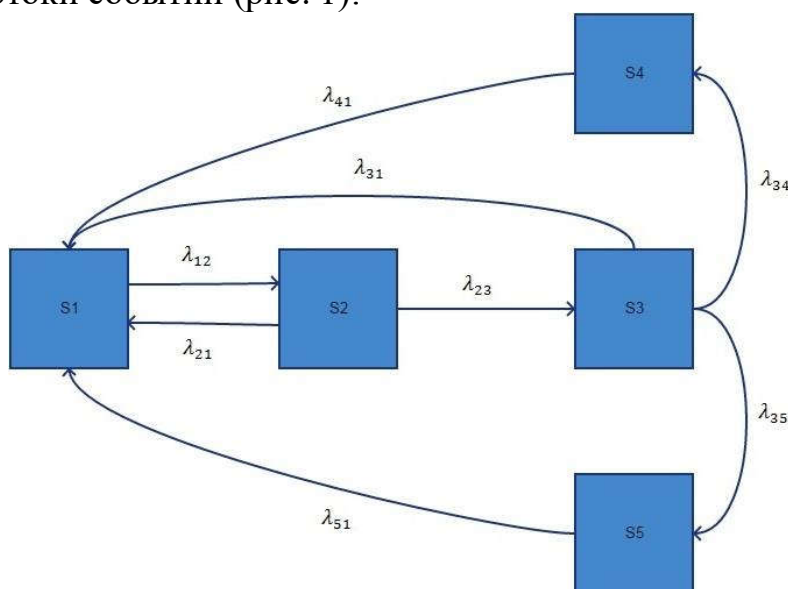


Рис. 1. Граф состояний ИС

Синтезируем систему дифференциальных уравнений (СДУ) Колмогорова-Чепмена [4]:



$$D(t, p) = \begin{cases} \frac{dp_1(t)}{dt} = \lambda_{51}p_5(t) + \lambda_{21}p_2(t) + \lambda_{31}p_3(t) + \lambda_{41}p_4(t) - \lambda_{12}p_1(t) \\ \frac{dp_2(t)}{dt} = \lambda_{12}p_1(t) - (\lambda_{21} + \lambda_{23})p_2(t) \\ \frac{dp_3(t)}{dt} = \lambda_{23}p_2(t) - (\lambda_{31} + \lambda_{34} + \lambda_{35})p_3(t) \\ \frac{dp_4(t)}{dt} = \lambda_{34}p_3(t) - \lambda_{41}p_4(t) \\ \frac{dp_5(t)}{dt} = \lambda_{35}p_3(t) - \lambda_{51}p_5(t) \end{cases} \quad (1)$$

Для построения распределения  $P$  опишем состояния ИС, использующей средство «маскирования» для противодействия СР:

- $S_1$  – оценка значения корреляции между структурами СС;
- $S_2$  – формирование ложной ФЛС ИКС и ее реализация;
- $S_3$  – масштабирование структуры по требованию СУ;
- $S_4$  – отключение связи вследствие воздействия СР;
- $S_5$  – отключения связи вследствие воздействия ЕСЭ.

Перечисленные дискретные состояния позволяют построить граф состояний исследуемой и «маскируемой» ИС, где  $\lambda_{ij}$  – интенсивности информационного обмена, характеризующие потоки событий (рис. 2).

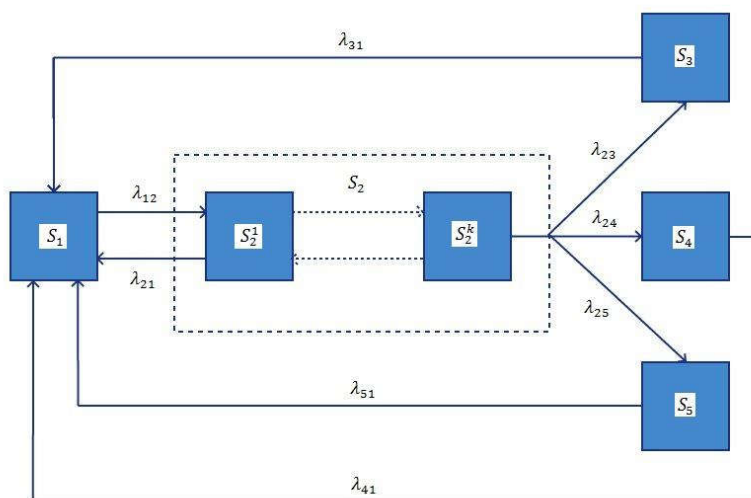


Рис. 2. Граф состояний системы принятия решения на управление (СПРУ)

Синтезируем математическую модель процесса перехода состояний СПРУ в виде СДУ Колмогорова-Чемпена и приведем ее к векторному представлению:



$$D(t, p) = \begin{cases} \frac{dp_1(t)}{dt} = \lambda_{21}p_2(t) + \lambda_{31}p_3(t) + \lambda_{41}p_4(t) + \lambda_{51}p_5(t) - \lambda_{12}p_1(t) \\ \frac{dp_2(t)}{dt} = \lambda_{12}p_1(t) - (\lambda_{21} + \lambda_{23} + \lambda_{24} + \lambda_{25})p_2(t) \\ \frac{dp_3(t)}{dt} = \lambda_{23}p_2(t) - \lambda_{31}p_3(t) \\ \frac{dp_4(t)}{dt} = \lambda_{24}p_2(t) - \lambda_{41}p_4(t) \\ \frac{dp_5(t)}{dt} = \lambda_{25}p_2(t) - \lambda_{51}p_5(t) \end{cases} \quad (2)$$

Для решения систем 1 и 2 и получения ВВХ ИС задаются начальные условия,  $p_i(0) = (1, 0, 0, 0, 0)$ , интервал интегрирования  $t_0=0, t_1=10$ , число этапов интегрирования  $n=10000$ . Применяя порядок решения СДУ методом Рунге-Кутты четвертого-пятого порядка, производится расчет для заданных значений интенсивностей событий  $\lambda_{ij} = const$  (марковский однородный процесс) [5].

Путем подстановки теоретических значений  $\lambda_{ij}$  были получены следующие значения предельных вероятностей для распределения  $Q$  и  $P$  соответственно:

$$q_1 = 0,299, q_2 = 0,206, q_3 = 0,124, q_4 = 0,165, q_5 = 0,206$$

$$p_1 = 0,269, p_2 = 0,141, p_3 = 0,169, p_4 = 0,188, p_5 = 0,234$$

Применяя формулу для оценки расстояния Кульбака-Лейблера между дискретными распределениями случайных величин [6]

$$D_{KL}(P||Q) = \sum_{i=1}^n p_i \log \frac{p_i}{q_i}$$

получим:

$$D_{KL}(P||Q) = 0.0359$$

Полученный результат измеряется в битах, то есть, очевидно, что он является хорошим – различающая информация величиной менее одного бита не дает возможности предположить о преднамеренном вмешательстве в работу ИС и подталкивает злоумышленника к предположениям о влиянии случайных помех, например, от ЕСЭ.

Таким образом, расчет расстояния Кульбака-Лейблера позволяет говорить об эффективности использования средства «маскирования» ИС, так как информационный выигрыш минимален и при удачном выборе стратегии будет стремиться к 0.

### Литература

1. Давыдов А.Е., Максимов Р.В., Савицкий О.К. Защита и безопасность ведомственных интегрированных инфокоммуникационных систем / А.Е.Давыдов, Р.В. Максимов, О.К. Савицкий. - Москва: ОАО «Воентелеком», 2015. - 520 с.

2. Марковские модели [Электронный ресурс] – Режим доступа: [https://life-prog.ru/view\\_modelirovanie.php?id=19](https://life-prog.ru/view_modelirovanie.php?id=19), свободный. Загл. с экрана. - Яз. русский. (дата обращения: 17.04.2019)



3. Вентцель Е.С. Теория вероятностей: Учеб. для вузов. [Текст]/Е.С. Вентцель - М.: Высш. шк., 1999. - 537 с.
4. Вентцель Е.С. Исследование операций. [Текст]/ Е.С. Вентцель –М.: Советское радио, 1972 - 210 с.
5. Бахвалов Н.С., Жидков Н.П., Кобельков Г.М. Численные методы. [Текст]/Н.С. Бахвалов, Н.П. Жидков, Г.М. Кобельков - М.: Наука, 1987. – 636 с.
6. S. Kullback, R.A. Leibler. On Information and Sufficiency [Текст]/ S. Kullback, R.A. Leibler - Ann. Math. Statist №1, 1951 - p. 79-86.

А.Н. Ивкин, М.Е. Бурлаков

## РЕАЛИЗАЦИЯ СИСТЕМЫ ОБНАРУЖЕНИЯ ВТОРЖЕНИЙ С ВНЕДРЕННЫМИ ПРАВИЛАМИ МАШИННОГО ОБУЧЕНИЯ

(Самарский университет)

### Аннотация

Система обнаружения вторжений является одним из важнейших устройств для защиты вычислительных систем, она способна выявлять и исследовать пакеты сетевого трафика. СОВ Snort - это бесплатное программное обеспечение с открытым исходным кодом, используемое в качестве средства защиты сети. Инструмент Snort обнаруживает только подтвержденные атаки, используя заранее определенные сигнатуры. В целях обнаружения новых, ранее не известных сетевых атак в данной работе разработаны расширенные правила для Snort, полученные с помощью инструмента машинного обучения WEKA и алгоритма j48. В статье, для экспериментального исследования, используется набор данных KDDCUP99. Основная цель данного исследования – реализация СОВ с внедренными правилами инструмента машинного обучения. Основными этапами исследований являются подготовка данных, применение алгоритма машинного обучения, извлечение экспертных правил, реализация правил Snort, обнаружение атак. Предлагаемая система обеспечивает эффективные показатели обнаружения и успешно выявляет новые, не представленные в сигнатурах атаки.

### Введение

Система обнаружения вторжений (СОВ), специализированное программно-аппаратное средство, предназначенное для выявления несанкционированного доступа к ресурсам системы. Snort это СОВ с открытым исходным кодом [1]. Как правило snort разворачивают на маршрутизаторе как сетевую СОВ. Snort обнаруживает атаки на основе правил, написанных в заданном формате и синтаксисе. Snort - это многовариантный инструмент исследования пакетов, работающий в нескольких режимах.